

文章编号: 1000-8608(2020)04-0365-09

Fe₃O₄@ZIF-8/CA 电极制备及其对罗丹明 B 废水降解研究

李丽, 张国权*, 邢嘉钰, 杨凤林

(大连理工大学环境学院工业生态与环境工程教育部重点实验室,辽宁大连 116024)

摘要: 采用水热法制备出 Fe₃O₄@ZIF-8 核壳催化剂及碳气凝胶(CA)载体,通过扫描电镜(SEM)、透射电镜(TEM)、N₂ 吸附-脱附曲线等方法对催化剂及载体的性能进行表征,测出材料的形貌、内部结构及比表面积。采用 Fe₃O₄@ZIF-8/CA 作为电芬顿体系阴极,碳棒作为阳极,探究不同条件下罗丹明 B 的降解效果。结果表明,降解罗丹明 B 废水的最适条件是 pH 为 7、电流密度为 6 mA·cm⁻²、催化剂负载量为 200 mg、催化剂焙烧温度为 750 ℃,在最适条件下,罗丹明 B 的降解率在 60 min 内即可达到 95.6%。电极的稳定性测试实验表明,Fe₃O₄@ZIF-8/CA 电极具有很好的稳定性,循环使用 3 次后,罗丹明 B 的降解率仍可达到 91%。采用 6 mA·cm⁻² 的最佳降解电流密度对碳气凝胶的 H₂O₂ 产量进行测定,发现最高产量可达到 84.14 mg/L,同时在降解过程的溶液中检测到 ·OH,由此对罗丹明 B 的降解机理进行了初步探讨。

关键词: Fe₃O₄@ZIF-8 材料; 碳气凝胶; 电芬顿; 罗丹明 B

中图分类号: X52; TB33 **文献标识码:** A **doi:** 10.7511/dllgxb202004005

0 引言

纺织业是中国的传统支柱产业,近年来,我国纺织业发展迅速,中国有最大的纺织厂和完整的产业链,是世界上最大的纺织品出口商^[1]。据中国纺织工业联合会统计^[2],2017 年我国纺织品出口约为 275 亿美元,占世界纺织品出口的 36.8%。同时,纺织业的快速发展导致了印染废水的大量排放。据统计,2015 年我国印染工厂的废水排放量高达 18.4×10^8 t,连续 5 年在中国 41 类重要工程中位列第 3 名^[3]。这些印染废水通常未经有效降解,排放后对地表水造成严重污染。罗丹明 B 作为一种水溶性的红色染料,因价格低廉、极易着色,被印染行业大量使用^[4]。但罗丹明 B 染料能够引起很多疾病如皮肤病等,甚至能够致癌^[5-6],对人体具有很大的危害,必须使用高效手段进行处理和降解。由于罗丹明 B 染料分子较大,生物毒性较强,传统的生物方法降解效果不佳,亟待研发能有效降解罗丹明 B 废水的方法。近年来,学

者发现吸附法能很好地处理罗丹明 B 废水,但该方法只是将罗丹明 B 分子从水中移除,并没有从根本上降解罗丹明 B^[7]。

研究发现,电芬顿技术可以更彻底地降解罗丹明 B 废水。电芬顿技术是通过电化学方法产生 H₂O₂,与溶液中存在的或者外加的 Fe²⁺ 反应,产生氧化能力极强的 ·OH($E=2.8V$ vs RHE),实现对污染物的高效降解。Jinisha 等^[8]用铁掺杂的 SBA-115 多孔二氧化硅作为电芬顿催化剂,阴阳极为石墨电极的电芬顿体系来催化降解罗丹明 B 废水,结果发现,在最适条件下降解 3 h 后,罗丹明 B 的移除率可以达到 97.7%,TOC 移除率为 35.1%。电芬顿技术的关键在于阴极材料,即需要阴极能够发生氧的两电子还原反应产生 H₂O₂。常用于产生 H₂O₂ 的电极材料包括两大类:一类是金属及其合金材料,如 Pt、Au-Pd 等;另一类是非金属材料,如石墨、碳毡、碳纳米管、三维多孔碳等。其中,碳材料在地球上含量多,成本低廉,且产生 H₂O₂ 的效果较好,故常用作阴极。碳气凝胶作

收稿日期: 2020-03-24; 修回日期: 2020-05-12。

基金项目: 国家自然科学基金资助项目(21437001)。

作者简介: 李丽(1994-),女,硕士生,E-mail:lili71321@163.com; 张国权*(1976-),男,博士,副教授,E-mail:zhguoquan@dlut.edu.cn; 杨凤林(1944-),男,教授,E-mail:yangfl@dlut.edu.cn。

为一种多孔碳材料,具有巨大的比表面积、良好的导电性及较好的 H_2O_2 产量^[9],是电芬顿阴极的极佳选择.

ZIF-8 作为金属有机框架(MOFs)材料的一种,具有比表面积大($1\ 630\ m^2/g$)、化学稳定性和热稳定性高、孔径大且规则等特点^[10-11],被广泛应用于吸附、催化等领域.异相电芬顿的发展使固体电芬顿催化剂备受关注,其中, Fe_3O_4 材料与众多固体催化剂相比具有一定优势,如制备方法简便、稳定性好、回收性好,可用磁铁将其从溶液中分离出来等^[12-13]. ZIF-8 与 Fe_3O_4 结合形成核壳结构材料用作电芬顿催化剂,目前尚未有研究报道.

本文通过制备多孔碳材料碳气凝胶(CA)作为载体,不同温度焙烧后的 $Fe_3O_4@ZIF-8$ 核壳结构材料作为电芬顿催化剂,涂覆于碳气凝胶表面作为电芬顿阴极,探究不同条件下的罗丹明 B 废水降解效果.通过扫描电镜(SEM)、透射电镜(TEM)及 N_2 吸附-脱附曲线方法,对催化剂及载体的形貌、内部结构、比表面积及孔径分布进行表征.同时,对碳气凝胶的 H_2O_2 产量及实验过程中的 $\cdot OH$ 进行检测,初步提出该电芬顿体系对罗丹明 B 的降解机理.

1 实验部分

1.1 制备方法

(1) 柱状碳气凝胶的制备

本文所使用的柱状碳气凝胶是在文献[14]提出的制备步骤上进行改进制得,将试剂间苯二酚、甲醛、去离子水、无水碳酸钠的比例调整为 $1:5:17.5:0.001$,此外,除文献中提到的溶胶-凝胶、丙酮溶剂置换、有机凝胶干燥、碳化合成步骤外,增加 CO_2 活化步骤,将制备的碳气凝胶进一步进行活化.

(2) $Fe_3O_4@ZIF-8$ 核壳催化剂的制备

该核壳催化剂的制备分 3 部分进行,首先按照 Li 等^[15] 提出的方法借助反应釜高温合成 Fe_3O_4 纳米球,干燥待用;之后,取一定量制备的 Fe_3O_4 纳米球,加入 30 mL 质量分数为 0.3% 的聚苯乙烯磺酸钠(PSS)水溶液中,借助超声,对纳米球表面进行改性修饰,20 min 后磁铁回收,蒸馏水水洗 3 次;采用水热法制备 $Fe_3O_4@ZIF-8$ 核壳催化剂^[16],将修饰过的 Fe_3O_4 分散在 30 mL 含

$Zn(NO_3)_2 \cdot 6H_2O$ 和 2-甲基咪唑的甲醇溶液中,在 50 °C 条件下水浴加热 3 h 并搅拌,冷却后磁铁回收,甲醇清洗 3 次,真空干燥后即得到 $Fe_3O_4@ZIF-8$ 核壳结构催化剂.整个过程的合成示意图如图 1 所示.

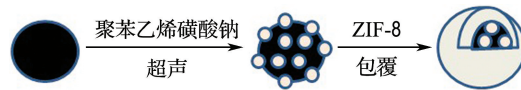


图 1 $Fe_3O_4@ZIF-8$ 核壳结构催化剂的形成过程
Fig. 1 The formation of $Fe_3O_4@ZIF-8$ core-shell catalyst

(3) $Fe_3O_4@ZIF-8/CA$ 的制备

将上述合成的 $Fe_3O_4@ZIF-8$ 催化剂置于管式炉中, N_2 氛围中分别在 550、750、950 °C 的不同温度下焙烧,按照实验要求取相应量加入甲醇中,制成甲醇悬浮液,同时加入几滴 Nafion 溶液,超声至均匀,涂覆在制得的 CA 表面,干燥后得到 $Fe_3O_4@ZIF-8/CA$,作为电芬顿阴极.

1.2 表征分析

将制备的碳气凝胶及不同温度焙烧后的 $Fe_3O_4@ZIF-8$ 纳米催化剂分别进行表征.材料的形貌及元素分析采用美国 FEI 公司的 Quanta450 型扫描电镜(SEM)进行表征,内部结构采用 JEM-2000 EX 型透射电镜(TEM)观察,碳气凝胶比表面积(BET)及孔径分布采用美国康塔仪器公司的 AS-1 型 N_2 吸附-脱附测定仪获得.

1.3 罗丹明 B 测定方法

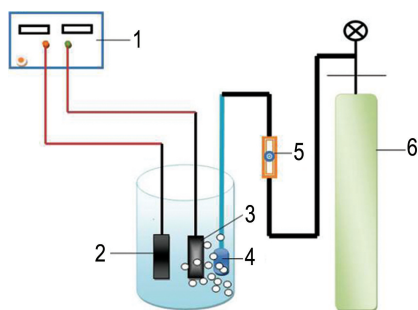
采用分光光度法测定罗丹明 B 浓度.首先,配制初始浓度为 10 mg/L 的罗丹明 B 溶液,加入 0.1 mol/L 的 Na_2SO_4 溶液作为电解质,设置一系列浓度梯度,使用可见分光光度计在 554 nm 处测定不同浓度下的罗丹明 B 吸光度^[17],绘制标准曲线;之后,降解过程中定时取样,测定样品吸光度,根据标准曲线算出样品的浓度,从而求得相应降解时间的罗丹明 B 降解率.

1.4 H_2O_2 浓度测定方法

碳气凝胶产生的 H_2O_2 浓度采用硫酸氧钛分光光度法测量^[18],采用 Na_2SO_4 溶液作为电解质进行碳气凝胶产生 H_2O_2 实验,实验过程中间隔 5 min 取 1 mL 溶液,去离子水稀释到 10 mL,加入 5 mL 配制好的硫酸-硫酸氧钛指示剂,再用去离子水稀释到 25 mL,静置 10 min,在 410 nm 处测定吸光度,从而得出 H_2O_2 浓度.

1.5 电芬顿降解实验

取150 mL初始浓度为10 mg/L的罗丹明B溶液放入烧杯中，曝氧气30 min，采用制备的 $\text{Fe}_3\text{O}_4@\text{ZIF}-8/\text{CA}$ 电极作为电芬顿阴极，碳棒作为阳极，两极间距为2.5 cm，使用双显恒电位仪提供电流，降解过程中阴极持续曝气，曝气速率为0.4 L/min，间隔一定时间取一次样品，测定吸光度，实验装置示意图如图2所示。



1 双显恒电位仪；2 碳棒阳极；3 $\text{Fe}_3\text{O}_4@\text{ZIF}-8/\text{CA}$ 阴极；4 曝气头；5 流量计；6 氧气瓶

图2 实验装置示意图

Fig. 2 The schematic diagram of experimental device

2 结果与讨论

2.1 碳气凝胶碳化前后分析

合成的碳气凝胶碳化前后的颜色及体积均发生了较大变化，如图3所示。碳化前，碳气凝胶呈现橙黄色，直径在2.5 cm左右，高度约为6 cm；碳化后，碳气凝胶变为黑色，直径缩小至约2 cm，高度降至约5 cm。碳化前后体积比约为1.9:1。从颜色变化上可以看出，合成碳气凝胶的有机物随着温度升高而被完全碳化，整体呈现碳材料的



图3 碳气凝胶碳化前后对比

Fig. 3 Carbon aerogel before and after carbonization

黑色；从碳化前后体积比来看，碳化后的碳气凝胶收缩不大，说明合成的碳气凝胶孔径不大，制备合理。

2.2 扫描电镜(SEM)分析

材料的性质与材料的形貌有很大关联。采用扫描电镜对材料的形貌进行了表征，结果如图4所示。图4(a)表示碳化后碳气凝胶的SEM图，从图中可以看出制备的CA呈现明显的三维网络结构，具有很高的孔隙率，与文献[19]提到的CA结构相似，这决定了CA具有很大的比表面积及吸附性。图4(b)是合成的 Fe_3O_4 纳米球的SEM图，图中呈现的纳米球表面比较光滑，球径大小在300~500 nm，相对较均匀。图4(c)是合成的未经焙烧的 $\text{Fe}_3\text{O}_4@\text{ZIF}-8$ 材料的SEM图，可以看出，材料仍呈现一定的颗粒球状，但表面呈现絮状，表明 Fe_3O_4 纳米球表面可能有ZIF-8材料附着。图4(d)是对图4(c)中的 $\text{Fe}_3\text{O}_4@\text{ZIF}-8$ 材料进行的能谱分析(EDS)表征，从谱图中可以观察到该材料含有Fe、C、Zn、O 4种元素，进一步证实选中区域同时存在 Fe_3O_4 和ZIF-8，可能合成 $\text{Fe}_3\text{O}_4@\text{ZIF}-8$ 材料。图4(e)是550 °C焙烧的 $\text{Fe}_3\text{O}_4@\text{ZIF}-8$ 材料的SEM图，从图中可以看出，材料呈现球状，表面粗糙，与未经焙烧处理的材料形貌类似，可说明ZIF-8材料在550 °C的N₂条件下焙烧具有稳定性[20]。图4(f)是750 °C焙烧的 $\text{Fe}_3\text{O}_4@\text{ZIF}-8$ 材料的SEM图，此温度下材料团聚现象较为突出，与550 °C焙烧的材料相比，表面更为粗糙，絮状现象更加明显，这些絮状物质大大增加了材料的比表面积，使得材料的催化性能得到提高。图4(g)是950 °C焙烧的 $\text{Fe}_3\text{O}_4@\text{ZIF}-8$ 材料的SEM图，从图中可以看到表面光滑的颗粒球，且球的粒径相较于图4(c)未焙烧前的材料有一定的减小，原因可能是温度过高，纳米球表面附着的ZIF-8材料中Zn元素逸出，其他材料被完全碳化[21]，部分碳材料疏松脱落，重新露出 Fe_3O_4 纳米球光滑的表面。

2.3 透射电镜(TEM)分析

为观察 $\text{Fe}_3\text{O}_4@\text{ZIF}-8$ 材料是否均匀涂覆在CA表面及进一步证实合成的 $\text{Fe}_3\text{O}_4@\text{ZIF}-8$ 催化剂呈现核壳结构，采用透射电镜进行表征，结果如图5所示。图5(a)是对 $\text{Fe}_3\text{O}_4@\text{ZIF}-8/\text{CA}$ 电极材料表面进行的TEM表征，图中黑色颗粒物质

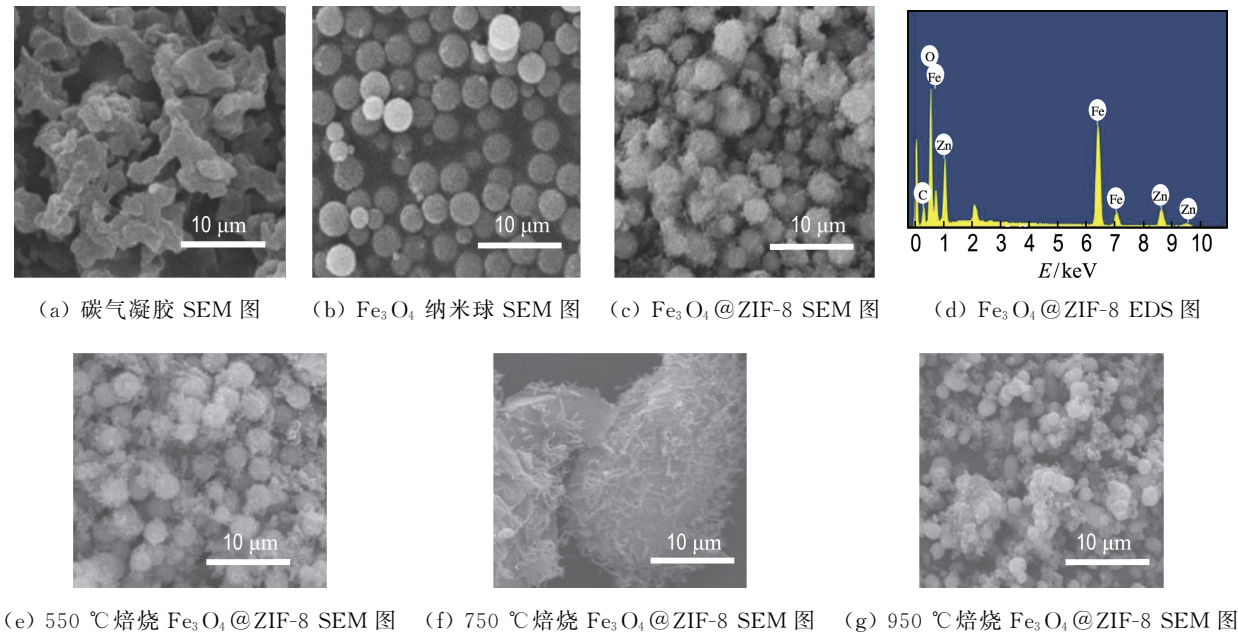
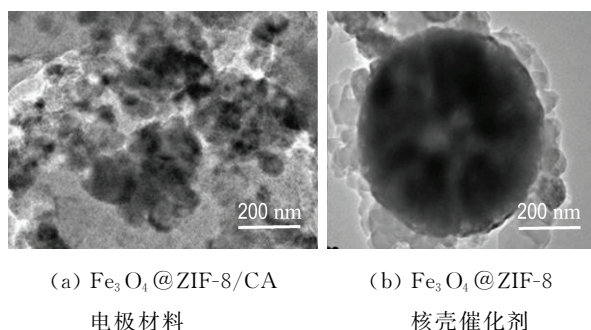


图 4 SEM 图及 EDS 图

Fig. 4 SEM images and EDS image

为 Fe_3O_4 纳米球, 灰色物质为碳气凝胶材料, 可看到黑色物质相对均匀地分散在灰色物质中, 因为 Fe_3O_4 与 ZIF-8 材料形成了核壳结构(如图 5(b)所示), 且焙烧后的 ZIF-8 材料为碳材料, 呈现与碳气凝胶相同的灰色, 故可说明 $\text{Fe}_3\text{O}_4@$ ZIF-8 材料均匀地分布在碳气凝胶中。图 5(b)是合成的 $\text{Fe}_3\text{O}_4@$ ZIF-8 材料的 TEM 图, 可以明显地看出材料由两部分构成, 内部黑色球为 Fe_3O_4 纳米球, 外部灰色物质是 ZIF-8 材料, 与文献中提到的 $\text{Fe}_3\text{O}_4@$ ZIF-8 材料的结构一致^[16], 进一步证实 ZIF-8 材料成功附着在 Fe_3O_4 纳米球表面, 形成核壳结构。

图 5 TEM 图
Fig. 5 TEM images

2.4 比表面积及孔径分布

碳气凝胶的比表面积及孔径分布通过 N_2 吸

附-脱附测定仪测得, 如图 6 所示。图 6(a)为碳气凝胶的 N_2 吸附-脱附曲线, 经计算可知, 碳气凝胶的 BET 比表面积为 $687.14 \text{ m}^2/\text{g}$, 表明合成的碳气凝胶具有较大的比表面积。图 6(b)为碳气凝胶的孔径分布图, 从图中可以看到, 合成的碳气凝胶孔径较小, 呈现纳米级, 大多数孔径小于 5 nm , 几乎所有的孔径均小于 10 nm 。从文献中得知, 碳气凝胶孔径越小, 则相应的比表面积越大, 越有利于吸附大量的氧气^[19], 从而有利于 H_2O_2 的合成。因此, 制备的碳气凝胶具备良好的产 H_2O_2 性能。

2.5 罗丹明 B 废水的降解效果分析

罗丹明 B 的标准曲线方程为 $C = 5.814 \times 10^{-3} A + 0.0274$, 其中 C 表示样品浓度, A 表示样品的吸光度。

(1) pH 对罗丹明 B 降解效果的影响

为探究 pH 对罗丹明 B 降解效果的影响, 将 pH 分别设置为 3、7、11, 结果如图 7(a)所示。前 60 min 内, pH=3 的降解率最佳, 60~120 min 内, pH=3 和 pH=7 两组曲线的降解率相近。从整体看, pH=3 时, 罗丹明 B 的降解效果最好, 120 min 内降解率可达 94.6%; pH=7 时的降解率次之, 为 92.7%; pH=11 时的降解率最差, 仅为 72.5%, 原因可能是酸性条件有利于 H_2O_2 的产生, 从而有利于罗丹明 B 的降解^[17]。图 7(b)表示与图 7(a)相对应的降解速率常数, pH 为 3、7、

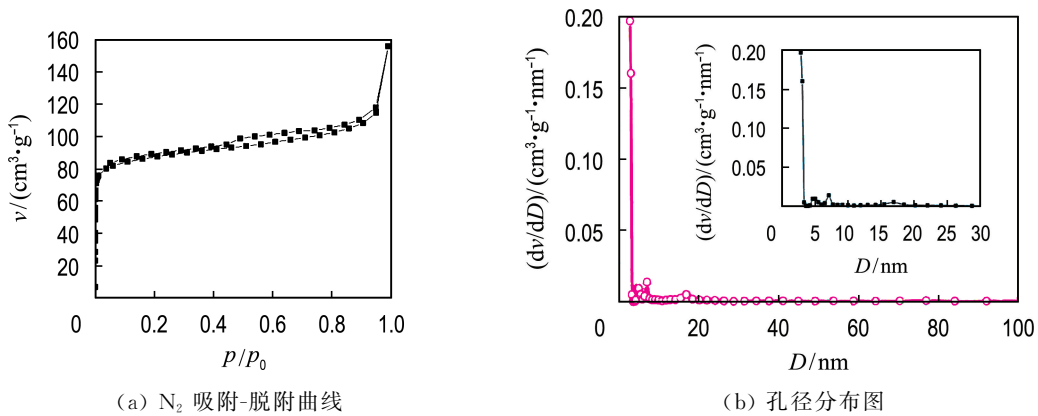
图 6 碳气凝胶的 N_2 吸附-脱附曲线及孔径分布图

Fig. 6 Nitrogen adsorption-desorption curve and pore size distribution plots of carbon aerogel

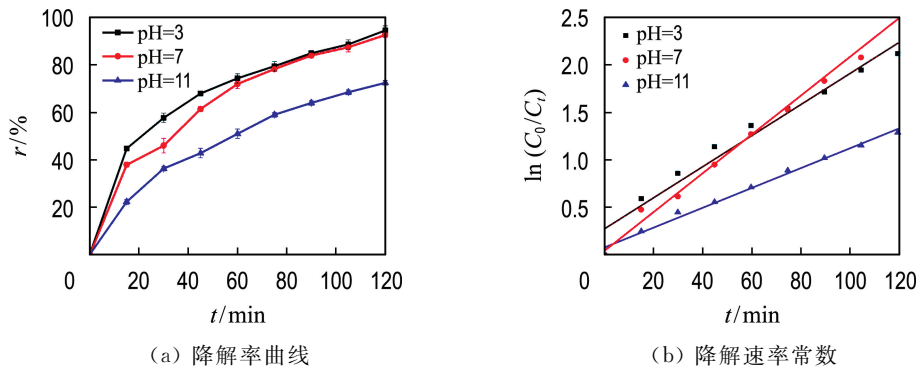


图 7 不同 pH 条件下罗丹明 B 降解率曲线及相应的降解速率常数

11 时降解速率常数分别为 0.016 、 0.021 、 0.011 min^{-1} , 发现 pH 为 7 时的降解速率常数最大, 综合降解效果及经济成本, 选择将 pH=7 作为降解罗丹明 B 的最佳 pH.

(2) 电流密度对罗丹明 B 降解效果影响

为探究不同电流密度对罗丹明 B 降解效果的影响, 在溶液 pH 为 7 的条件下, 分别设置 4、5、

6 $\text{mA} \cdot \text{cm}^{-2}$ 3 个不同的电流密度, 实验结果如图 8(a)所示。从图中可知, 随着电流密度的增加, 罗丹明 B 的降解效果逐渐增强, 当电流密度达到 $6 \text{ mA} \cdot \text{cm}^{-2}$ 时, 罗丹明 B 的降解率最高, 可达 94.1% , 说明高的电流密度有利于氧气得电子, 从而提高 H_2O_2 的产量来加快罗丹明 B 的降解^[17]。图 8(b)表示与图 8(a)相对应的降解速率常数, 电

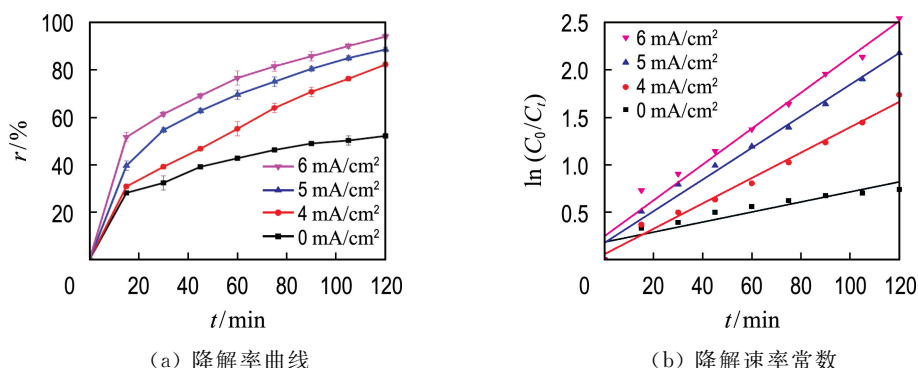


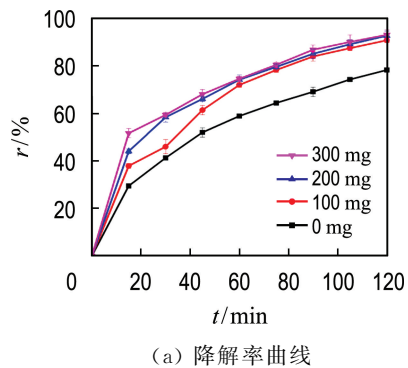
图 8 不同电流密度下罗丹明 B 降解率曲线及相应的降解速率常数

Fig. 8 Degradation rate curve of RhB with different current density and corresponding degradation velocity constants

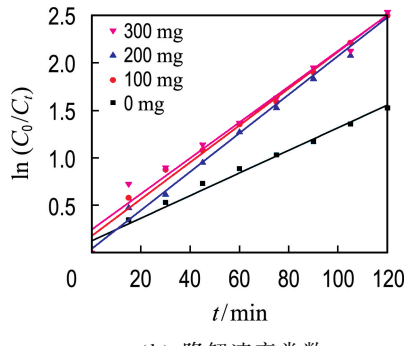
流密度为 0、4、5、6 $\text{mA} \cdot \text{cm}^{-2}$ 时, 相应降解速率常数分别为 0.005、0.013、0.016、0.018 min^{-1} , 发现电流密度为 6 $\text{mA} \cdot \text{cm}^{-2}$ 时罗丹明 B 的降解速率常数最大, 此时的碳棒表面有些许被腐蚀, 考虑到电流效益以及电流密度过大时造成阳极碳棒的腐蚀, 故选取 6 $\text{mA} \cdot \text{cm}^{-2}$ 作为降解罗丹明 B 的最佳电流密度。

(3) 催化剂负载量对罗丹明 B 降解效果影响

为探究焙烧后的 $\text{Fe}_3\text{O}_4 @ \text{ZIF-8}$ 催化剂负载量对罗丹明 B 降解效果的影响, 在 pH 为 7、电流密度为 6 $\text{mA} \cdot \text{cm}^{-2}$ 的条件下, 分别采用 100、200 和 300 mg 的催化剂负载量来降解罗丹明 B 废水, 降解结果如图 9(a) 所示。前 40 min 内, 负载 100 mg 催化剂的电极对罗丹明 B 的降解效果相对较差, 负载 200 和 300 mg 的催化剂对罗丹明 B 的降解效果相差不大。120 min 后, 催化剂负载量为 100、200 和 300 mg 的电极对罗丹明 B 的降解率分别为 91.8%、92.7% 和 93.1%, 结果相近, 可能是负载 100 mg 催化剂已经满足实验所需的铁



(a) 降解率曲线



(b) 降解速率常数

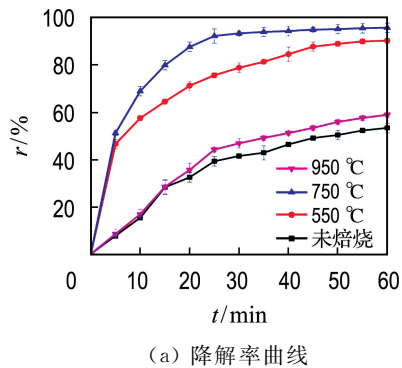
图 9 不同催化剂负载量下罗丹明 B 降解率曲线及相应的降解速率常数

Fig. 9 Degradation rate curve of RhB with different catalyst loadings and corresponding degradation velocity constants

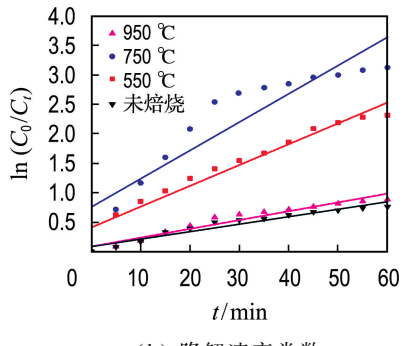
试剂。图 9(b) 表示与图 9(a) 相对应的降解速率常数, 催化剂负载量为 0、100、200、300 mg 时, 相应的降解速率常数分别为 0.0119、0.0194、0.0203、0.0188 min^{-1} , 发现负载 200 mg 催化剂时罗丹明 B 的降解速率常数最大。综上, 选取 200 mg 作为降解罗丹明 B 的最佳催化剂负载量。

(4) 催化剂焙烧温度对罗丹明 B 降解效果影响

分别将 $\text{Fe}_3\text{O}_4 @ \text{ZIF-8}$ 催化剂在 550、750、950 °C 条件下进行焙烧, 探究不同焙烧温度的催化剂对罗丹明 B 降解效果的影响, 结果如图 10(a) 所示。在 pH 为 7, 电流密度为 6 $\text{mA} \cdot \text{cm}^{-2}$ 、催化剂负载量为 200 mg 的条件下, 催化剂焙烧温度为 550、750 和 950 °C 时, 反应 60 min 后的降解率分别为 90.1%、95.6% 和 58.8%。可以看出, 950 °C 时的降解率最低, 原因可能是过高的温度使得大部分 ZIF-8 材料被碳化完全疏松而从纳米球表面脱落, 部分 Fe_3O_4 纳米球失去活性导致降解率大幅下降。图 10(b) 表示与图 10(a) 相对



(a) 降解率曲线



(b) 降解速率常数

图 10 不同催化剂焙烧温度下罗丹明 B 降解率曲线及相应的降解速率常数

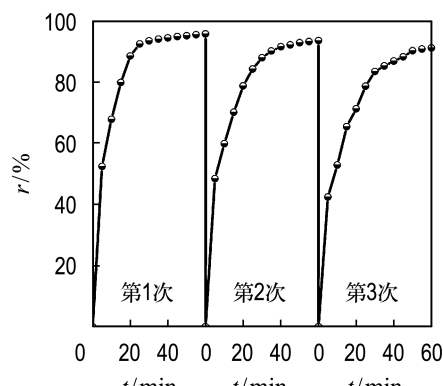
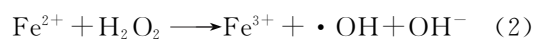
Fig. 10 Degradation rate curve of RhB with different catalyst calcination temperatures and corresponding degradation velocity constants

应的降解速率常数,在未焙烧和 550、750、950 °C 焙烧条件下,相应的降解速率常数分别为 0.035 3、0.048 0、0.074 9、0.012 6 min⁻¹,发现催化剂焙烧温度为 750 °C 时罗丹明 B 的降解速率常数最大,故选取 750 °C 作为降解罗丹明 B 的最佳催化剂焙烧温度。

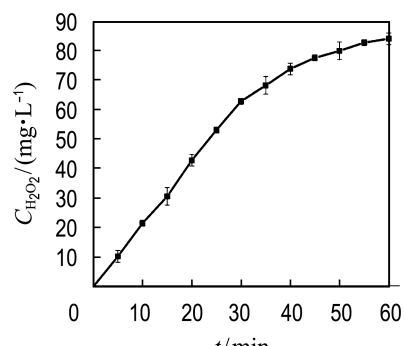
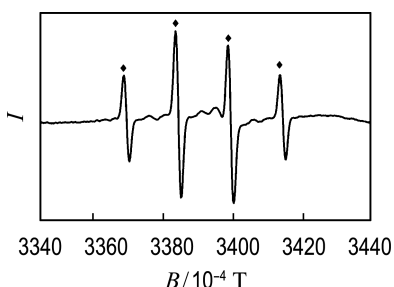
2.6 阴极稳定性测试及降解机理探究

选择 pH 为 7、电流密度为 6 mA · cm⁻²、催化剂负载量为 200 mg、催化剂焙烧温度为 750 °C 的最适条件,用 $\text{Fe}_3\text{O}_4@\text{ZIF-8/CA}$ 为阴极进行罗丹明 B 的循环降解实验,测定电极的稳定性,实验结果如图 11(a)所示。电极初次使用时,60 min 内罗丹明 B 的降解率为 95.6%;使用第 2 次时,罗丹明 B 的降解率为 93.5%;第 3 次使用后,罗丹明 B 的降解率为 91.1%。该循环实验表明, $\text{Fe}_3\text{O}_4@\text{ZIF-8/CA}$ 阴极具有很好的稳定性,循环使用 3 次后,降解率仍可达到 91%。在 0.1 mol/L

Na_2SO_4 溶液中,采用最适电流密度 6 mA · cm⁻² 来测定柱状碳气凝胶的 H_2O_2 产量,发现 60 min 后, H_2O_2 产量可以达到 84.14 mg/L(图 11(b)),说明制备的碳气凝胶电极氧还原性能很好。同时,推测降解的原因是催化剂催化 H_2O_2 分解产生了氧化性极强的羟基自由基。采用 DMPO 为捕获剂对 $\cdot\text{OH}$ 进行检测,测得的 EPR 图如图 11(c)所示。从 EPR 图上可以看到明显的峰强比为 1:2:2:1 的特征峰,该峰强比是典型的 DMPO-OH 的特征峰,证明实验过程中有 $\cdot\text{OH}$ 的存在。故推得在反应过程中,催化剂催化 H_2O_2 产生 $\cdot\text{OH}$,该自由基来降解罗丹明 B 废水。反应的主要机理可能为^[22]



(a) 循环实验

(b) H_2O_2 产量

(c) EPR 图

图 11 电极循环实验结果、过氧化氢产量及 $\cdot\text{OH}$ 的 EPR 图

Fig. 11 The electrode cycle experiment, hydrogen peroxide yield and the EPR figure of hydroxyl radical

3 结 论

(1) 本文采用水热法成功制备出 $\text{Fe}_3\text{O}_4@\text{ZIF-8/CA}$ 核壳催化剂及碳气凝胶载体,将 $\text{Fe}_3\text{O}_4 @$

ZIF-8 催化剂负载到碳气凝胶上,首次将 $\text{Fe}_3\text{O}_4@\text{ZIF-8/CA}$ 作为电芬顿体系阴极。

(2) 通过扫描电镜(SEM)、透射电镜(TEM)、

N_2 吸附-脱附曲线等表征方法对催化剂及载体进行表征。SEM 结果显示碳气凝胶具有三维网络结构,该结构有利于氧气的吸附,从而利于原位产生 H_2O_2 ;SEM 和 TEM 表征结果证明 ZIF-8 成功负载到 Fe_3O_4 纳米球表面,合成了具有核壳结构的 $Fe_3O_4@ZIF-8$ 催化剂; N_2 吸附-脱附曲线表明合成的碳气凝胶 BET 比表面积可达 $687.14\text{ m}^2/\text{g}$,且孔径小于 10 nm 。

(3) 探究了不同条件对罗丹明 B 废水降解效果影响。实验发现,降解罗丹明 B 的最适 pH 为 7、电流密度为 $6\text{ mA}\cdot\text{cm}^{-2}$ 、催化剂负载量为 200 mg 、催化剂焙烧温度为 $750\text{ }^\circ\text{C}$,在最适条件下降解罗丹明 B 废水,60 min 内降解率可达 95.6%,与已有研究^[8]中采用碳棒作为电芬顿阴阳极来降解罗丹明 B 废水,3 h 降解 97.7% 的罗丹明 B 废水相比,采用 $Fe_3O_4@ZIF-8/CA$ 作为电芬顿阴极后,罗丹明 B 废水的降解效率有了很大提高。

(4) 对 $Fe_3O_4@ZIF-8/CA$ 电极进行循环实验测试,发现电极稳定性较好,循环使用 3 次后,降解率仍可达到 91%;测试了碳气凝胶的 H_2O_2 产量,发现在 $6\text{ mA}\cdot\text{cm}^{-2}$ 的电流密度下,60 min 内 H_2O_2 的产量可达到 84.14 mg/L ;同时,通过 EPR 测试检测到 $\cdot OH$,初步认为可能是催化剂与 H_2O_2 反应产生了 $\cdot OH$,从而对罗丹明 B 产生降解。

参考文献:

- [1] LIN Boqiang, CHEN Yu, ZHANG Guoliang. Impact of technological progress on China's textile industry and future energy saving potential forecast [J]. *Energy*, 2018, **161**: 859-869.
- [2] 中国纺织工业联合会. 2017/2018 中国纺织工业发展报告 [M]. 北京: 中国纺织出版社, 2018. China National Textile and Apparel Council. *China Textile Industry Development Report of 2017/2018* [M]. Beijing: China Textile and Apparel Press, 2018. (in Chinese)
- [3] LI Yi, WANG Yi. Double decoupling effectiveness of water consumption and wastewater discharge in China's textile industry based on water footprint theory [J]. *PeerJ*, 2019, **7**: e6937.
- [4] GUO Nan, LIU Haiyan, FU Yong, et al. Preparation of Fe_2O_3 nanoparticles doped with In_2O_3 and photocatalytic degradation property for Rhodamine B [J]. *Optik*, 2020, **201**: 163537.
- [5] SALVADOR A, ALAIN P, AGUSTÍN R U, et al. Comparative study for degradation of industrial dyes by electrochemical advanced oxidation processes with BDD anode in a laboratory stirred tank reactor [J]. *Chemosphere*, 2018, **205**: 682-689.
- [6] SHIMADA T, YAMAZAKI H, MIMURA M, et al. Interindividual variations in human liver cytochrome P-450 enzymes involved in the oxidation of drugs, carcinogens and toxic chemicals: studies with liver microsomes of 30 Japanese and 30 Caucasians [J]. *The Journal of Pharmacology and Experimental Therapeutics*, 1994, **270**(1): 414-423.
- [7] BAO Lanlan, MENG Minjia, SUN Kaiyong, et al. Selective adsorption and degradation of Rhodamine B with modified titanium dioxide photocatalyst [J]. *Journal of Applied Polymer Science*, 2014, **131**(20): 40890.
- [8] JINISHA R, GANDHIMATHI R, RAMESH S T, et al. Removal of Rhodamine B dye from aqueous solution by electro-Fenton process using iron-doped mesoporous silica as a heterogeneous catalyst [J]. *Chemosphere*, 2018, **200**: 446-454.
- [9] WANG Yanbin, ZHAO Hongying, ZHAO Guohua. Highly ordered mesoporous $Fe_3O_4@$ carbon embedded composite: high catalytic activity, wide pH range and stability for heterogeneous electro-Fenton [J]. *Electroanalysis*, 2016, **28**(1): 169-176.
- [10] PARK K S, NI Zheng, CÔTÉ A P, et al. Exceptional chemical and thermal stability of zeolitic imidazolate frameworks [J]. *Proceedings of the National Academy of Sciences of the United States of America*, 2006, **103**(27): 10186-10191.
- [11] SCHEJN A, BALAN L, FALK V, et al. Controlling ZIF-8 nano- and microcrystal formation and reactivity through zinc salt variations [J]. *Crystengcomm*, 2014, **16**(21): 4493-4500.
- [12] ZHANG Jinbin, ZHUANG Jie, GAO Lizeng, et al. Decomposing phenol by the hidden talent of ferromagnetic nanoparticles [J]. *Chemosphere*, 2008, **73**(9): 1524-1528.
- [13] SUN Shouheng, ZENG Hao. Size-controlled synthesis of magnetite nanoparticles [J]. *Journal of the American Chemical Society*, 2002, **124**(28): 8204-8205.
- [14] WU Meifen, JIN Yuning, ZHAO Guohua, et al. Electrosorption-promoted photodegradation of

- opaque wastewater on a novel TiO_2 /carbon aerogel electrode [J]. **Environmental Science & Technology**, 2010, **44**(5): 1780-1785.
- [15] LI Shanshan, LI Dongyan, SUN Long, et al. A designable aminophenylboronic acid functionalized magnetic $\text{Fe}_3\text{O}_4/\text{ZIF-8/APBA}$ for specific recognition of glycoproteins and glycopeptides [J]. **RSC Advances**, 2018, **8**(13): 6887-6892.
- [16] ZHANG Tong, ZHANG Xiongf, YAN Xinjuan, et al. Synthesis of $\text{Fe}_3\text{O}_4 @ \text{ZIF-8}$ magnetic core-shell microspheres and their potential application in a capillary microreactor [J]. **Chemical Engineering Journal**, 2013, **228**: 398-404.
- [17] 邱珊, 陈聪, 邓凤霞, 等. 石墨电极E-Fenton法处理罗丹明B废水 [J]. 浙江大学学报(工学版), 2016, **50**(4): 704-713.
- QIU Shan, CHEN Cong, DENG Fengxia, et al. Rhodamine B wastewater treatment using graphite electrodes by E-Fenton technology [J]. **Journal of Zhejiang University (Engineering Science)**, 2016, **50**(4): 704-713. (in Chinese)
- [18] JIN Yuning, ZHAO Guohua, WU Meifen, et al. In situ induced visible-light photoelectrocatalytic activity from molecular oxygen on carbon aerogel-supported TiO_2 [J]. **The Journal of Physical Chemistry C**, 2011, **115**(20): 9917-9925.
- [19] WANG Yujing, ZHAO Hongying, CHAI Shouning, et al. Electrosorption enhanced electro-Fenton process for efficient mineralization of imidacloprid based on mixed-valence iron oxide composite cathode at neutral pH [J]. **Chemical Engineering Journal**, 2013, **223**: 524-535.
- [20] GAO Yilong, WU Jianxiang, ZHANG Wei, et al. The calcined zeolitic imidazolate framework-8 (ZIF-8) under different conditions as electrode for supercapacitor applications [J]. **Journal of Solid State Electrochemistry**, 2014, **18**(11): 3203-3207.
- [21] YOUNG C, SALUNKHE R R, TANG Jing, et al. Zeolitic imidazolate framework (ZIF-8) derived nanoporous carbon: the effect of carbonization temperature on the supercapacitor performance in an aqueous electrolyte [J]. **Physical Chemistry Chemical Physics**, 2016, **18**(42): 29308-29315.
- [22] HOU Baolin, HAN Hongjun, JIA Shengyong, et al. Heterogeneous electro-Fenton oxidation of catechol catalyzed by nano- Fe_3O_4 : kinetics with the Fermi's equation [J]. **Journal of the Taiwan Institute of Chemical Engineers**, 2015, **56**: 138-147.

Preparation of $\text{Fe}_3\text{O}_4@\text{ZIF-8/CA}$ electrode for degradation of Rhodamine B wastewater

LI Li, ZHANG Guoquan*, XING Jiayu, YANG Fenglin

(Key Laboratory of Industrial Ecology and Environmental Engineering, Ministry of Education, School of Environmental Science and Technology, Dalian University of Technology, Dalian 116024, China)

Abstract: $\text{Fe}_3\text{O}_4@\text{ZIF-8}$ core-shell catalyst and carbon aerogel support are prepared via hydrothermal method, and general material characterization methods including scanning electron microscope (SEM), transmission electron microscope (TEM) and N_2 adsorption-desorption detection are adopted to detect morphology, internal structure and specific surface area of the materials. By using $\text{Fe}_3\text{O}_4 @ \text{ZIF-8/CA}$ electrode as electro-Fenton cathode while carbon bar as anode, the degradation of Rhodamine B (RhB) wastewater is investigated under different conditions. The results show that the degradation rate of RhB can be up to 95.6% in 60 minutes with the pH of 7, current density of $6 \text{ mA} \cdot \text{cm}^{-2}$, catalyst loading being 200 mg and catalyst calcination temperature of 750 °C. Also, the electrode shows good stability after being recycled three times with a degradation rate of 91%. Under the optimum degradation current density of $6 \text{ mA} \cdot \text{cm}^{-2}$, it is found that the yield of hydrogen peroxide can reach 84.14 mg/L and hydroxyl radical is detected. So, the degradation mechanism of RhB is discussed.

Key words: $\text{Fe}_3\text{O}_4 @ \text{ZIF-8}$ material; carbon aerogel; electro-Fenton; Rhodamine B